

یک سامانه مدیریت دسترسی برای کاهش

تهدیدهای عملیاتی در سامانه اسکادا

پیام محمودی نصر^{۱*} و علی یزدیان ورجانی^۲

دانشگاه مازندران، دانشکده فنی و مهندسی، گروه مهندسی کامپیوتر و فناوری اطلاعات، مازندران، ایران
^۲دانشگاه تربیت مدرس، تهران، ایران

چکیده

حمله به سامانه‌های اسکادا در زیرساخت‌های حیاتی خسارت‌های جبران‌ناپذیری به همراه دارد. در سامانه اسکادا اپراتورها نقش کلیدی داشته، و چنانچه وظایف خود را به‌درستی انجام ندهند، در فرآیندهای جاری شبکه اختلال به‌وجود می‌آید. در این مقاله عملکرد نامناسب اپراتورها در کنترل فرآیندها به‌عنوان تهدیدهای عملیاتی شناخته می‌شوند. یک تهدید عملیاتی هنگامی است که اپراتورهای مجاز با انجام‌دادن وظایف سازمانی و یا سوءاستفاده از مجوزهای قانونی سعی در ایجاد اختلال در پست‌های راه دور می‌کنند. در این مقاله یک سامانه مدیریت دسترسی مبتنی بر اعتماد برای کاهش تهدیدهای عملیاتی ارائه شده است. در این سامانه سطح دسترسی اپراتور به پست‌ها با توجه به مقدار اعتماد اپراتور و سطح بحرانی بودن پست تعیین می‌شود. مقدار اعتماد اپراتور در فواصل زمانی معین و یا هنگام مشاهده ناهنجاری در شبکه به‌روزرسانی می‌شود. سامانه پیشنهادی قادر است تا ناهنجاری‌های به‌وجودآمده را شناسایی کند. نتایج شبیه‌سازی با استفاده از داده‌های شبکه برق ایران نشان می‌دهد که سامانه پیشنهادی از کارایی مناسبی برخوردار است.

واژگان کلیدی: کنترل دسترسی، اعتماد، تهدید خودی، تشخیص ناهنجاری، اسکادا

An Access Management System to Mitigate Operational Threats in SCADA System

Payam Mahmoudi-Nasr^{*1} & Ali Yazdian-Varjani²

¹Department of Computer Engineering, University of Mazandaran, Mazandaran, Iran

²Tarbiat Modares University, Tehran, Iran

Abstract

One of the most dangerous insider threats in a supervisory control and data acquisition (SCADA) system is the operational threat. An operational threat occurs when an authorized operator misuses the permissions, and brings catastrophic damages by sending legitimate control commands. Providing too many permissions may backfire, when an operator wrongly or deliberately abuses the privileges. Therefore, an access management system is required to provide necessary permissions and prevent malicious usage. An operational threat on a critical infrastructure has the potential to cause large financial losses and irreparable damages at the national level. In this paper, we propose a new alarm-trust based access management system reducing the potential of operational threats in SCADA system. In the proposed system, the accessibility of a remote substation will be determined based on the operator trust and the criticality level of the substation. The trust value of the operator is calculated using the performance of the operator, periodically or in emergencies, when an anomaly is detected. The criticality level of the substation is computed using its properties. Our system is able to detect anomalies that may result from the operational threats. The simulation results in the SCADA power system of Iran show effectiveness of our system.

Keywords: Access control, trust, insider threat, anomaly detection, SCADA.

* Corresponding author

* نویسنده عهده‌دار مکاتبات

قابلیت اطمینان^۷ شبکه به عهده اپراتورها است. به همین دلیل اپراتورهای اسکادا دارای نقش کلیدی بوده و تصمیم‌های آن‌ها تأثیر فراوانی در حفظ قابلیت اطمینان شبکه دارد. چنانچه اپراتورها با بی‌توجهی به هشدارها، تأخیر در برطرف کردن هشدارها، و ارسال دستورهای قانونی اشتباه (عمدی یا غیرعمدی) وظایف خود را به درستی انجام ندهند، موجب: (۱) جلوگیری و یا تأخیر در انجام یک فرآیند، (۲) اختلال در فرآیندهای جاری، (۳) شکست یک فرآیند، و یا (۴) انجام یک فرآیند نادرست در سامانه می‌شوند. برای مثال به نشتی خطوط لوله شرکت اینبریج^۸ در سال ۲۰۱۰ می‌توان اشاره کرد که به واسطه مدیریت نامناسب هشدارها در سامانه اسکادا به وجود آمد [11].

در این مقاله یک سامانه مدیریت دسترسی بر پایه هشدار و اعتماد به منظور کاهش تهدیدهای عملیاتی در سامانه اسکادا ارائه شده است. در این سامانه فرض بر آن است که با تعیین سطح اعتماد اپراتورها در دسترسی به پست‌ها و کنترل تجهیزات آن، از میزان تهدیدهای عملیاتی کاسته خواهد شد. بدین ترتیب که هرچه سطح اعتماد اپراتور بیشتر محاسبه شود، اجازه دسترسی به پست‌های بیشتری برای وی فراهم می‌شود. در سامانه پیشنهادی از میزان بحرانی بودن^۹ پست‌ها در شبکه به عنوان حد آستانه برای دسترسی به آن‌ها استفاده می‌شود. اپراتور به شرطی به یک پست دسترسی خواهد داشت که سطح اعتماد وی از سطح بحرانی بودن آن پست بیشتر باشد.

برای محاسبه سطح اعتماد اپراتور، از میزان کارایی^{۱۰} وی استفاده شده است. از آنجایی که اپراتورها وظیفه برطرف کردن هر چه سریع‌تر هشدارها را به عهده دارند، از نرخ برطرف شدن هشدارها به عنوان شاخصی برای اندازه‌گیری میزان کارایی اپراتور استفاده شده است. سطح اعتماد اپراتور در فواصل زمانی مشخص و یا در مواقع اضطراری (هنگام شناسایی ناهنجاری)، به روزرسانی می‌شود. سامانه پیشنهادی روشی را نیز برای تشخیص ناهنجاری با استفاده از روش‌های کنترل کیفیت آماری^{۱۱} ارائه می‌دهد. به طور خلاصه نوآوری‌های این مقاله عبارت‌اند از:

سامانه‌های اسکادا^۱ سامانه‌های پیچیده و توزیع‌شده‌ای هستند که به منظور پایش^۲ و کنترل بی‌درنگ^۳ فرآیندهای صنعتی در زیرساخت‌های حیاتی مانند شبکه‌های توزیع برق، آب، نفت و گاز استفاده می‌شوند. حمله به سامانه‌های اسکادا در زیرساخت‌های حیاتی منجر به بروز حوادث زنجیره‌ای^۵ در فعالیت‌های اقتصادی و صنعتی خواهد شد. به همین دلیل تأمین امنیت اسکادا نقش به‌سزایی در تأمین امنیت ملی خواهد داشت. این در حالی است که گزارش‌های دریافتی نشان می‌دهند که سامانه‌های اسکادا در معرض انواع تهدیدها هستند [1].

یکی از تهدیدهای خطرناک در سامانه‌های رایانه‌ای، تهدید کاربران خودی^۶ است. این تهدید هنگامی اتفاق می‌افتد که کاربر قانونی یا مهاجمی که به مجوزهای قانونی دسترسی پیدا کرده، با سوءاستفاده از مجوزها و انجام دستورهای قانونی، موجب ایجاد نتیجه‌ای غیرقانونی در سامانه می‌شود [2]. بنا بر پژوهش‌های انجام‌شده ۳۳٪ مجموع حوادث سایبری در سال ۲۰۱۰ [3]، ۲۱٪ حملات در سال ۲۰۱۱ و ۶۰٪ کلاهبرداری‌ها در سال ۲۰۱۲ [4]، ۳۶٪ حملات گزارش‌شده در سال ۲۰۱۳ [5]، ۲۸٪ حملات سایبری در سال ۲۰۱۴ [6] و ۵۰٪ حملات گزارش‌شده در سال ۲۰۱۵ [7] از نوع حمله خودی بوده، و در سامانه‌های اسکادا ۳۰٪ حملات در سال‌های ۲۰۰۱ تا ۲۰۰۳ [8] و ۳۳/۳٪ حملات در سال‌های ۲۰۰۰ تا ۲۰۱۱ [9] از نوع خودی و توسط کاربران ناراضی انجام شده است. بنا بر گزارش [10] ۳۴٪ حملات ثبت‌شده در سال ۲۰۱۳ از نوع حمله خودی بوده است.

یکی از انواع تهدیدهای خودی در سامانه اسکادا تهدید عملیاتی است. تهدیدهای عملیاتی توسط اپراتور اسکادا، یا مهاجمی که به مجوزهای اپراتور دسترسی پیدا کرده انجام می‌شود؛ و هدف آن ایجاد اختلال در فرآیندهای سامانه و افزایش ناهنجاری در شبکه است. در سامانه اسکادا پایش وضعیت سامانه، کنترل فرآیندها، انجام واکنش به موقع نسبت به رویدادها و هشدارها و درنهایت کنترل بی‌درنگ

¹ Supervisory Control and Data Acquisition (SCADA)

² Monitoring

³ Real-Time

⁴ Process

⁵ Cascade

⁶ Insider threat

⁷ Reliability

⁸ Enbridge Inc.

⁹ Criticality

¹⁰ Performance

¹¹ Statistical Quality Control

حذف یک فایل). یک چارچوب^۲ تشخیص ناهنجاری برای سامانه‌های کنترل صنعتی با استفاده از مدل مارکوف ترافیک شبکه Modbus در [14] ارائه شده است. مروری مناسب بر روش‌های تشخیص ناهنجاری در سامانه اسکادا در منابع [15] آورده شده است. در منبع [16] برای تشخیص حمله به فرآیندها، از آنالیز ویژگی‌های فرآیند مانند محرمانگی داده‌ها، درستی عملکرد فرآیند، و دسترس‌پذیری نتایج آن استفاده شده است. در منبع [17] نیز یک روش مبتنی بر معنا برای تشخیص حمله به فرآیندهای کنترل‌کننده‌های منطقی برنامه‌پذیر^۳ ارائه شده است. این منبع ابتدا با استفاده از داده‌های شبکه، فرآیندهای سامانه را شناسایی کرده و سپس با ایجاد سری‌های زمانی برای هر یک از متغیرهای فرآیند، عملکرد مورد نظر آن فرآیند را در سیستم بررسی می‌کند.

۲-۲- اعتماد و سامانه‌های کنترل دسترسی

درحالی‌که استفاده از روش‌های کنترل دسترسی راهکاری بسیار مناسب برای محدود کردن اپراتور مهاجم و جلوگیری از گسترش تهدیدهای خودی است، در سامانه‌های اسکادا به دلیل وجود متغیرهای سامانه‌ای فراوان، از مدل‌های کنترل دسترسی یا به‌هیچ‌وجه استفاده‌نشده و یا به شکل محدودی مورد توجه قرار گرفته‌اند.

تاکنون نسخه‌های توسعه‌یافته متعددی از مدل استاندارد کنترل دسترسی RBAC^۴ در کاربردهای مختلف ارائه شده، که هیچ‌یک از آن‌ها به‌طور کامل مطابق با نیازمندی‌های سامانه اسکادا نیست. منبع [3] یک چارچوب کنترل دسترسی مبتنی بر اعتماد و ریسک برای کاهش تهدیدهای خودی پیشنهاد کرده است. در این چارچوب ابتدا به هر یک از کاربران و مجوزها به ترتیب مقداری از اعتماد و ریسک اختصاص داده می‌شود. در ادامه هر کاربر از میان نقش‌هایی که به وی اختصاص داده شده، تنها نقشی را می‌تواند فعال کند که حد آستانه اعتماد موردنیاز آن از اعتماد کاربر کمتر باشد. حد آستانه اعتماد برای فعال کردن یک نقش با توجه به مقدار ریسک مجوزهای نقش تعیین می‌شود. چنانچه برای دسترسی به مجوزها از مجموعه نقش‌های متفاوتی بتوان استفاده کرد، مجموعه‌ای که کمترین ریسک را دارد، انتخاب خواهد شد. برای محاسبه ریسک هر مجموعه نقش از شبکه‌های پتری رنگی^۵ استفاده

² Framework

³ Programmable Logic Controllers (PLC)

⁴ Role Based Access Control

⁵ Colored Petri Net (CPN)

(۱) ارائه یک سامانه مدیریت دسترسی برای کاهش تهدیدهای عملیاتی سامانه اسکادا بر پایه سطح کارایی اپراتور و بحرانی بودن پست‌ها. در این مقاله برای نخستین بار از مقدار اعتماد اپراتور و سطح بحرانی بودن پست‌ها برای تعیین مجوزهای دسترسی به پست‌ها استفاده شده است.

(۲) استفاده از روش‌های شناخته‌شده کنترل کیفیت آماری برای تشخیص ناهنجاری در سامانه اسکادا.

این مقاله بدین صورت ادامه می‌شود: بخش دوم مقاله به‌مرور پژوهش‌های پیشین می‌پردازد. در بخش سوم بحث‌های مقدماتی شامل سامانه اسکادا، تفاوت‌های امنیتی، اپراتور اسکادا و تهدیدهای عملیاتی بررسی شده‌اند. سامانه پیشنهادی برای مدیریت دسترسی اپراتور اسکادا و تشخیص ناهنجاری در بخش چهارم ارائه می‌شود. بخش پنجم نحوه ارزیابی و نتایج شبیه‌سازی را نشان می‌دهد. در بخش ششم نتایج حاصل از این مقاله آورده شده است.

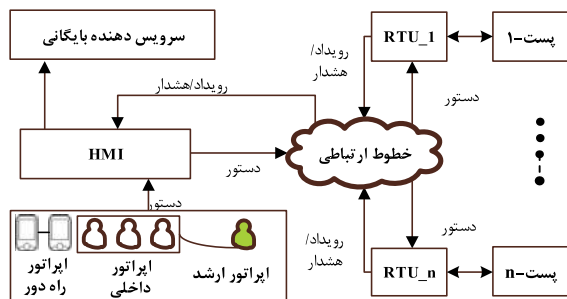
۲- پژوهش‌های پیشین

۲-۱- تشخیص ناهنجاری و تهدیدهای خودی

تاکنون سامانه‌های متعددی برای تشخیص ناهنجاری و جلوگیری از تهدیدهای خودی ارائه شده است. تمرکز برخی بر شناسایی الگوهای غیرتکراری [12]، ویژگی‌های رفتاری و روان‌شناختی [13]، آنالیز ترافیک [14] و غیره است. بر اساس مطالعات انجام‌شده در این مقاله تاکنون هیچ‌یک از کارهای انجام‌شده از آنالیز هشدارها به‌منظور شناسایی ناهنجاری و تهدیدهای خودی استفاده نکرده‌اند. منبع [12] با استفاده از داده‌کاوی فایل ثبت وقایع^۱ در سامانه‌های کنترل صنعتی روشی برای تشخیص حمله به فرآیندها در سامانه اسکادا ارائه کرده است. این منبع با بررسی معنایی داده‌های سامانه، الگوهای غیرتکراری در فایل ثبت وقایع را شناسایی می‌کند. محدودیت این روش وابستگی به ثبت رویدادهای ناشی از عملکرد اپراتور در فایل ثبت وقایع است. درحالی‌که روش ارائه‌شده در این مقاله قادر است حتی در صورت عدم واکنش اپراتور به هشدارها، ناهنجاری سامانه را شناسایی کند. روشی روان‌شناختی برای شناسایی تهدیدهای خودی در [13] ارائه شده است. در این روش راه‌کاری ارائه می‌شود تا مهاجم خودی، عملی انجام دهد که به‌موجب آن موردتوجه دیگران و در نتیجه شناسایی قرار گیرد (مانند

¹ Log file

اقدام مقتضی برای برطرف شدن آن(ها) را انجام می‌دهند. تمامی داده‌ها و فرمان‌ها در سرویس‌دهنده بایگانی^۶ ذخیره می‌شوند. شکل (۱) ساختار کلی سامانه اسکادا را نشان می‌دهد.



(شکل-۱): ساختار کلی سامانه اسکادا.
(Figure-1): SCADA system architecture.

۳-۲- تفاوت امنیتی با شبکه‌های رایانه‌ای

تفاوت‌های امنیتی مختلفی را بین سامانه‌های رایانه‌ای و کنترل صنعتی از جمله اسکادا می‌توان بیان کرد. برخی از مهم‌ترین این تفاوت‌ها در جدول (۱) آورده شده که به توضیح تعدادی از آن‌ها می‌پردازیم:

الف) در سامانه‌های کنترل صنعتی از جمله اسکادا، هرگونه فرمان و اجرای دستور تأثیری مستقیم بر روی دنیای واقعی خواهد گذاشت و این خود عامل مهمی است که موضوع تأمین امنیت را در این‌گونه سامانه‌ها بسیار حساس‌تر نسبت به سامانه‌های رایانه‌ای می‌کند.

ب) سامانه‌های اسکادا بسیار حساس به زمان بوده و به‌صورت بی‌درنگ باید عمل کنند. علت این موضوع آن است که هرگونه تأخیر در برطرف کردن هشدارها می‌تواند عاملی برای به‌وجود آمدن هشدارهای زنجیره‌ای^۷، خاموشی شبکه و در نهایت تهدیدی برای زندگی انسان باشد. حساسیت به زمان در سامانه‌های دیگری از جمله پخش زنده تصاویر و ویدئو نیز مطرح است؛ اما نقض محدودیت‌های زمانی در این‌گونه سامانه‌ها تنها منجر به از دست دادن کیفیت خواهد شد و عامل تخریب کل سامانه و بروز فاجعه در محیط زندگی نخواهد شد. اصطلاحاً این‌گونه سامانه‌ها را سامانه‌های بی‌درنگ نرم و سامانه اسکادا را بی‌درنگ سخت می‌گویند [23].

شده است. یک روش کنترل دسترسی مبتنی بر اعتماد و وظیفه^۱، برای جلوگیری از تهدیدهای خودی و التزام کاربر به انجام وظایف بعد از دسترسی به مجوزها در [18] ارائه شده است. در این منبع اعتماد کاربر در طول بازه‌های زمانی با توجه به رفتار وی در انجام وظایف بررسی و محاسبه می‌شود. دسترسی کاربر به مجوزها بر اساس مقدار اعتماد اپراتور و سطح بحرانی بودن مجموعه وظایف مشخص می‌شود. چنانچه اعتماد کاربر از مقدار بحرانی بودن وظایف بیشتر باشد، مجوز دسترسی صادر خواهد شد. در منبع [19] بررسی جامعی در مورد انواع روش‌های محاسبه اعتماد ارائه شده است. یک چارچوب مدیریت کنترل دسترسی بر پایه استاندارد RBAC برای سامانه اسکادا در [20] ارائه شده است. در این منبع از ابزارهای UML^۲ و CPN به ترتیب برای شناسایی نیازمندی‌ها و قوانین کنترل دسترسی استفاده شده است. تمرکز اصلی این منبع بر استفاده از قابلیت‌های هر یک از ابزارهای بالا بوده و در آن اشاره‌ای به تهدیدهای خودی نشده است. در منبع [21] یک چارچوب مجوزدهی مبتنی بر منطق برای تعریف قوانین امنیتی در سامانه اسکادا پیشنهاد شده است.

۳- پیش زمینه

۳-۱- سامانه اسکادا

سامانه‌های اسکادا وظیفه پایش و کنترل بی‌درنگ فرآیندهای شبکه‌های صنعتی را به عهده دارند. در این سامانه‌ها داده‌های اندازه‌گیری شده در پست‌ها به وسیله RTU^۳ جمع‌آوری و از طریق یک شبکه مخابراتی خصوصی و یا عمومی برای مرکز کنترل ارسال می‌شوند. سرویس‌دهنده عمومی^۴ در مرکز کنترل داده‌های دریافتی را به اپراتورها نمایش داده و برعکس فرمان‌های کنترلی اپراتورها را برای تجهیزات داخل پست‌ها ارسال می‌کند [22]. هرگونه تغییر در شرایط سامانه که نیازمند توجه اپراتورها باشد در قالب یک هشدار اعلام خواهد شد. هنگامی که خطا یا خرابی در یکی از تجهیزات شبکه به وجود می‌آید، سامانه‌های حفاظتی در پست هشدار(های) مربوطه را ایجاد و توسط RTU به مرکز کنترل ارسال می‌کنند. اپراتورهای اسکادا با مشاهده هشدار(ها) ابتدا آن(ها) را تصدیق^۵ کرده و سپس

¹ Obligation
² Unified Modeling Language (UML)
³ Remote Terminal Unit
⁴ Human Machine Interface (HMI)
⁵ Acknowledge

⁶ Historian Server
⁷ Cascade

۳-۳- اپراتورهای اسکادا

در سامانه اسکادا اپراتورها نقش کلیدی داشته و بر اساس دستورالعمل‌های ثابت بهره‌برداری وظیفه (۱) کنترل و نظارت بر فرآیندها، (۲) واکنش به موقع نسبت به رویدادها و هشدارها، و (۳) صدور فرمان‌های کنترلی به منظور حفظ قابلیت اطمینان سامانه را به عهده دارند. هنگامی که هشدار از طرف یکی از پست‌های تحت نظارت اپراتور در صفحه‌نمایش سرویس‌دهنده HMI ظاهر می‌شود، اپراتور با بررسی دقیق و تصمیم‌گیری به موقع سعی در برطرف کردن آن هشدار می‌کنند. هرگونه تأخیر و اشتباه اپراتور خسارت‌های جبران‌ناپذیری می‌تواند به همراه داشته و قابلیت اطمینان سامانه را با مشکل روبرو کند.

پردازش به موقع هشدارها و تصمیم‌گیری در مورد نحوه برطرف کردن آن‌ها امری دشوار و پراسترس حتی برای اپراتورهای باتجربه است. به منظور کاهش استرس کاری اپراتور و افزایش امنیت سامانه (۱) به‌طور معمول از روش‌های هوشمند پردازش هشدار^۲ مانند اولویت‌بندی و فیلتر کردن هشدارها، و (۲) تیم اپراتوری در هر نوبت کاری استفاده می‌شود. از میان اپراتورها، اپراتوری که از مهارت بیشتری برخوردار است، به‌عنوان اپراتور ارشد مسئولیت نظارت بر عملکرد اپراتورهای دیگر را به عهده دارد.

۳-۴- تهدیدهای عملیاتی

تهدیدهای اسکادا را به دو گروه تهدیدهای خودی (داخلی) و غیرخودی (خارجی) می‌توان تقسیم کرد. تهدیدهای غیرخودی توسط کاربران غیرمجاز و خارج از سامانه مانند هکرها و دولت‌های متخاصم انجام شده، درحالی‌که تهدیدهای خودی توسط کاربران مجاز (و یا مهاجمی که به مجوزها دسترسی پیدا کرده) و با سوءاستفاده از مجوزهای قانونی انجام می‌شود. اگرچه تعداد تهدیدهای خودی ممکن است کمتر از تعداد تهدیدهای غیرخودی باشد اما میزان موفقیت و آسیب آن‌ها به مراتب بیشتر و جدی‌تر از تهدیدهای غیرخودی است [24]. این امر به دلیل آن است که کاربران خودی (۱) دسترسی فیزیکی و قانونی به تجهیزات دارند، (۲) دانش کافی از سامانه‌های رایانه‌ای و نرم‌افزارهای مربوطه دارند، و از همه مهم‌تر (۳) از قوانین و سامانه‌های امنیتی لحاظ‌شده آگاهی دارند.

ج) تفاوت دیگر وجود حافظه‌های تکه‌تکه‌شده^۱ در تجهیزات میدانی است. بسیاری از تجهیزات میدانی اسکادا بدون وقفه و راه‌اندازی مجدد برای مدت‌های طولانی (سال‌ها) به کار خود ادامه می‌دهند. این امر موجب تکه‌تکه شدن حافظه آن‌ها می‌شود. به همین دلیل مشکل سرریزی بافر در سامانه‌های اسکادا بسیار مهم‌تر و شایع‌تر نسبت به سامانه‌های رایانه‌ای است.

د) استفاده از سیستم‌عامل‌های بی‌درنگ عامل دیگری برای افزایش آسیب‌پذیری در اسکادا شده است. این امر به علت حساسیت بسیار بالای آن‌ها نسبت به زمان در اختصاص حافظه است.

ه) علاوه بر این‌ها موارد دیگری مانند تقاضای دسترسی همیشگی، محدودیت پردازشی و محاسباتی بر روی تجهیزات میدانی، گستره جغرافیایی شبکه و تجهیزات میدانی، تبدیل گسترده سیگنال‌های آنالوگ و دیجیتال به یکدیگر، انواع پارامترهای اجتماعی از جمله مقاومت اپراتورها در مقابل تغییرات و میل به نگهداری سامانه به صورت موروثی و میزان اثربخشی هزینه‌ها عواملی است که موضوع امنیت اسکادا را بسیار پیچیده می‌کند [23].

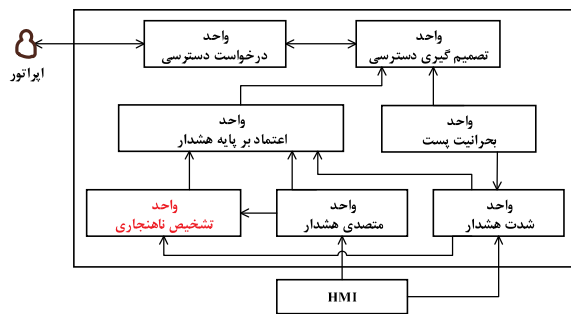
(جدول ۱-): تفاوت امنیتی سامانه اسکادا با سامانه‌های کامپیوتری.
(Table-1): Security differences between SCADA & computer systems.

عنوان	گروه	شبکه‌های کامپیوتری	سامانه‌های اسکادا
فن‌آوری	طول عمر تجهیزات	۳ تا ۵ سال	۱۵ تا ۲۰ سال
	سیستم‌عامل	سیستم‌عامل‌های معمولی و مرسوم مانند Windows	سیستم‌عامل‌های بی‌درنگ یا اختصاصی
	پروتکل شبکه	پروتکل‌های معمولی	معمولی یا اختصاصی (Profibus, Modbus, DNP3)
عملکرد	محدودیت منابع (مانند حافظه)	بدون محدودیت منابع	محدودیت برای اجرای هرگونه سرویس اضافه
	تمرکز امنیتی	سرویس‌دهنده‌های مرکزی و داده‌ها	پردازش‌ها در تجهیزات میدانی
	نیازمندی‌های امنیتی (به ترتیب)	محرمانگی، تمامیت داده، دسترسی‌پذیری	دسترسی‌پذیری، تمامیت داده، محرمانگی
	واکنش بی‌درنگ	اندک	بسیار زیاد
	به‌روزرسانی نرم‌افزارها	به‌صورت دوره‌ای انجام می‌شود.	به‌ندرت اتفاق می‌افتد.

² Intelligent alarm processing

¹ Fragmented

(1) $T_{init}^{op} = 1$ فرض می‌شود. بدین ترتیب اپراتور به تمامی پست‌های تحت مسئولیت خود در ابتدا دسترسی دارد. شکل (۲) ساختار سامانه پیشنهادی را نشان می‌دهد.



(شکل-۲): ساختار سامانه پیشنهادی مدیریت دسترسی.
(Figure-2): The structure of the proposed system of access management.

واحد اعتماد بر پایه هشدار وظیفه تعیین مقدار اعتماد اپراتورها را به عهده دارد. مقدار اعتماد اپراتور با توجه به مقدار کارایی وی در کنترل پست‌ها محاسبه می‌شود. از آنجایی که اپراتورها درصدد برطرف کردن هر چه سریع‌تر هشدارها می‌باشند، مقدار کارایی آن‌ها می‌تواند با توجه به توانایی آن‌ها در برطرف کردن هشدارها تعیین شود. به عبارت دیگر هرچه اپراتور در برطرف کردن هشدار از توانایی بیشتری برخوردار باشد، از اعتماد بیشتری برای کنترل پست‌ها برخوردار خواهد بود. این در حالی است که تهدیدهای عملیاتی اپراتور موجب افزایش تعداد هشدارها برطرف نشده در سامانه شده و در نتیجه باعث کاهش مقدار اعتماد اپراتور می‌شود. واحد متصدی هشدار وظیفه تعیین وضعیت هشدارها را به عهده دارد. در مورد وضعیت هشدارها در بخش‌های بعدی توضیح داده خواهد شد. هرگاه واحد تشخیص ناهنجاری یک ناهنجاری را در سامانه شناسایی کند، آن را به واحد اعتماد بر پایه هشدار اعلام کرده تا مقدار اعتماد اپراتور به‌روزرسانی شود. مقدار اعتماد اپراتور به‌تناسب در فواصل زمانی معین و یا هنگام تشخیص ناهنجاری به‌روزرسانی می‌شود. واحد درخواست دسترسی، مترصد دریافت درخواست اپراتور برای دسترسی به پست‌ها بوده و آن را برای واحد تصمیم‌گیری دسترسی ارسال می‌کند. این واحد درخواست موردنظر را با توجه به مقدار اعتماد اپراتور ارزیابی کرده و نتیجه را در غالب اجازه و یا عدم اجازه دسترسی به واحد درخواست دسترسی اعلام می‌دارد. واحد بحرانیت پست وظیفه محاسبه سطح بحرانی بودن پست‌ها را

تهدیدهای عملیاتی یکی از انواع تهدیدهای خودی در سامانه اسکادا است. این تهدید هنگامی رخ می‌دهد که اپراتور (۱) وظایف خود را بر اساس دستورالعمل‌های ثابت بهره‌برداری به‌درستی انجام نمی‌دهد (عمدی و یا غیرعمدی)، (۲) با سوءاستفاده از مجوزهای قانونی موجب ایجاد اختلال و شکست فرآیندها می‌شود، (۳) به‌طور غیرعمدی مرتکب اشتباه در کنترل فرآیندها سیستم می‌شود. بر این اساس تهدیدهای عملیاتی را می‌توان به‌صورت زیر دسته‌بندی کرد: (۱) تهدید وابسته به هشدارها: این تهدید هنگامی به وقوع می‌پیوندد که اپراتور هشدارها را به‌موقع برطرف نمی‌کند. تصدیق گروهی و نادیده گرفتن هشدارها، تأخیر در برطرف کردن هشدارها، و پاسخ اشتباه به هشدارها (ناقص و یا نامناسب) از انواع این تهدید است. (۲) تهدید بیکربندی: این تهدید هنگامی به وقوع می‌پیوندد که تنظیم نامناسبی در یکی از تجهیزات پست توسط اپراتور (عمدی و یا غیرعمدی) ایجاد می‌شود. مانند تغییر نامناسب تپ‌چنجر ترانسفورماتور، و باز/بسته کردن نامناسب فیدهای خروجی در شبکه قدرت.

۴- سامانه پیشنهادی مدیریت دسترسی اپراتور

در این بخش یک سامانه مبتنی بر اعتماد و هشدار به‌منظور مدیریت دسترسی اپراتور به پست‌ها ارائه خواهد شد. هدف این سامانه کاهش دسترسی اپراتورهای کم‌تجربه (یا مهاجم) به پست‌های راه دور بر اساس سطح بحرانی بودن پست‌ها است. در این سامانه هنگامی اپراتور مجوز دسترسی به یک پست را دارد که مقدار اعتماد وی $(T^{op} \in [0,1])$ از سطح بحرانی بودن پست $(CR_{Sub} \in [0,1])$ بیشتر باشد.

قانون دسترسی: اگر $T^{op} > CR_{Sub}$ آنگاه دسترسی مجاز و در غیر این صورت دسترسی غیرمجاز است.

در این سامانه به هر اپراتور op یک مقدار اعتماد مبتنی بر هشدار در زمان t اختصاص داده می‌شود. چنانچه $(T^{op}, t) = 0$ باشد، اپراتور غیرقابل اعتماد است و هنگامی که $(T^{op}, t) = 1$ است اپراتور به‌طور کامل قابل اعتماد بوده و به‌تمامی پست‌ها در محدوده تحت مسئولیت خود دسترسی خواهد داشت. فرض بر این است که محدوده تحت مسئولیت اپراتور از قبل توسط اپراتور ارشد تعیین شده است. مقدار اعتماد اولیه اپراتور برابر با یک

^۱ Ignore

نوع هشدار l_j باشد سطح شدت هر یک از هشدارهای نوع l_j از پست نام به صورت زیر محاسبه خواهد شد.

$$Sev_{ij} = CR_{sub_i} \cdot W_{l_j} \quad (2)$$

۳-۴ - محاسبه اعتماد اپراتور

آنچه مطلوب سامانه پیشنهادی است آن است که در محاسبه مقدار اعتماد اپراتور راهکاری ارائه شود تا (۱) چنانچه به علت اشتباه غیرعمدی میزان ناهنجاری شبکه افزایش یافته و در نتیجه از اعتماد اپراتور کاسته شود، فرصت جبران (افزایش اعتماد) به وی داده شود، (۲) علاوه بر کارایی جاری به سابقه کارایی اپراتور نیز توجه شود.

در این سامانه کارایی اپراتور بر اساس توانایی وی در برطرف کردن هشدارها تعیین شده است. می دانیم هنگامی که هشدار در مرکز کنترل دریافت می شود، ابتدا در وضعیت بلا تکلیف^۱ است تا توسط اپراتور ابتدا تصدیق و سپس برطرف شود؛ لذا کارایی اپراتور را در هر بازه زمانی با توجه به تعداد هشدارهای برطرف شده و برطرف نشده (بلا تکلیف و تصدیق شده) در محدوده پست های تحت کنترل وی می توان محاسبه کرد. در هر نوبت بازرسی از عملکرد اپراتور، تعدادی هشدار برطرف شده و برطرف نشده وجود دارد. فرض بر آن است که بازرسی ها در فواصل زمانی منظم (که توسط اپراتور ارشد تعیین می شود، به عنوان مثال هفتگی یا ماهانه) و یا در مواقع اضطراری (هنگام تشخیص ناهنجاری) انجام می شوند. فرض کنید در بازرسی o به ترتیب R_{ij} و U_{ij} تعداد هشدارهای برطرف شده و برطرف نشده از نوع l_j در پست نام باشند. چنانچه m تعداد انواع هشدارها و n تعداد پست ها باشد، مقدار کارایی اپراتور op با استفاده از فرمول زیر محاسبه خواهد شد:

$$SPop[o] = \frac{\sum_{i=1}^n \sum_{j=1}^m Sev_{ij} \cdot R_{ij}}{\sum_{i=1}^n \sum_{j=1}^m Sev_{ij} \cdot (R_{ij} + U_{ij})} \quad (3)$$

در این فرمول کارایی اپراتور در بازه زمانی مربوط به بازرسی o و با استفاده از نسبت مجموع شدت هشدارهای برطرف شده به مجموع شدت تمامی هشدارهای دریافتی در حوزه تحت مسئولیت اپراتور محاسبه شده است. چنانچه اپراتور هیچ یک از هشدارهای دریافتی را به موقع برطرف نکند مقدار کارایی وی برابر صفر، و برعکس چنانچه تمامی هشدارها به موقع برطرف شوند، مقدار کارایی برابر یک خواهد بود.

^۱ Pending

به عهده دارد. واحد شدت هشدار نیز وظیفه تعیین سطح شدت هشدارها را به عهده دارد.

لازم به ذکر است که در سامانه پیشنهادی تنها مقدار اعتماد اپراتورها به روزرسانی می شود و فرض بر آن است که اپراتور ارشد همواره دسترسی کامل به تمامی پست ها را در حوزه تحت مسئولیت خود دارد. در سامانه پیشنهادی هرگاه سطح دسترسی اپراتوری به یک پست تغییر کند، گزارش مربوطه به اطلاع اپراتور ارشد خواهد رسید. این گزارش جهت انجام اقدام مقتضی توسط اپراتور ارشد (مانند تغییر محدوده تحت مسئولیت اپراتور، نظارت بیشتر به عملکرد اپراتور، و از همه مهم تر کنترل پست هایی که به طور موقت از دسترسی اپراتور خارج شده اند) مورد استفاده قرار خواهد گرفت.

۱-۴ - تعیین سطح بحرانی بودن پست

اگرچه از روش های ارائه شده در مقاله های دیگر مانند [25] برای رتبه بندی سطح بحرانی بودن پست ها می توان استفاده کرد، در این مقاله روشی جدید بر اساس ویژگی های پست (مانند ظرفیت، اهمیت در شبکه، تعداد فیدرهای ورودی/خروجی، موقعیت جغرافیایی و غیره) برای تعیین سطح بحرانی بودن پست ها ارائه شده است. فرض کنید مجموعه $\{p_1, p_2, \dots, p_k\}$ شامل ویژگی های پست و $w_{p_j} \in [0,1]$ مقدار وزن ویژگی p_j و n تعداد پست ها باشد. چنانچه $g_{p_{ij}} \in [0,1]$ امتیاز کسب شده پست نام برای ویژگی p_j باشد، سطح بحرانی بودن پست با استفاده از رابطه زیر محاسبه خواهد شد:

$$CR_{sub_i} = \frac{\sum_{j=1}^k w_{p_j} \cdot g_{p_{ij}}}{\max_{1 \leq i \leq n} \sum_{j=1}^k w_{p_j} \cdot g_{p_{ij}}} \quad (1)$$

در این رابطه CR_{sub_i} عبارت است از نسبت امتیاز کسب شده پست نام به بیشینه امتیاز کسب شده پست ها در شبکه.

۲-۴ - تعیین سطح شدت هشدار

سطح شدت هر هشدار متناسب با نوع هشدار و سطح بحرانی بودن پستی که هشدار در آن اتفاق افتاده تعیین می شود. از معیارهای متفاوتی مانند مدت زمان پاسخ گوئی، شدت پیامدها، محل وقوع، تجهیز عامل، و ... برای گروه بندی و تعیین نوع هشدارها می توان استفاده کرد. فرض کنید هشدارها به m نوع $L = \{l_1, l_2, \dots, l_m\}$ گروه بندی شده باشند. چنانچه $w_{l_j} \in [0,1]$ با فرض $\sum_{j=1}^m w_{l_j} = 1$ وزن

به منظور در نظر گرفتن سابقه کارایی در محاسبه اعتماد اپراتور از رابطه میانگین موزون متحرک نمایی¹ [26] به صورت زیر می توان استفاده کرد:

$$T_i^{op} = (1 - \alpha) \cdot T_{i-1}^{op} + \alpha \cdot SP^{op}[o_i] \quad (4)$$

در این رابطه T_{i-1}^{op} میانگین وزنی کارایی های قبلی و $\alpha \in [0,1]$ ضریب کارایی جاری است. چنانچه از دو مقدار متفاوت α_1 و α_2 در این رابطه استفاده شود، امکان جریمه اپراتور هنگام مشاهده ناهنجاری وجود دارد. بدین ترتیب که اگر $\alpha_1 < \alpha_2$ باشد، چنانچه هنگام مشاهده ناهنجاری از مقدار α_2 ، و در غیر این صورت از مقدار α_1 استفاده شود، سرعت کاهش اعتماد اپراتور بیشتر از افزایش آن خواهد بود. تفاوت کارایی جاری نسبت به سابقه کارایی اپراتور به صورت زیر قابل محاسبه است:

$$D_i^{op} = SP^{op}[o_i] - T_{i-1}^{op} \quad (5)$$

اگر $D_i^{op} \geq 0$ باشد، اپراتور کارایی خود را نسبت به قبل افزایش داده، و برعکس هنگامی که $D_i^{op} < 0$ است مقدار کارایی اپراتور نسبت به قبل کمتر شده است. چنانچه بخواهیم از نوسان های زیاد مقدار اعتماد اپراتور جلوگیری به عمل آوریم، بهتر است از رابطه زیر برای محاسبه اعتماد استفاده کنیم:

$$\begin{cases} T_i^{op} = T_{i-1}^{op}, & \text{in periodically observations} \\ & \text{if } D_i^{op} < 0 \\ T_i^{op} = (1 - \alpha) \cdot T_{i-1}^{op} + \alpha \cdot SP^{op}[o_i], & \text{otherwise} \end{cases} \quad (6)$$

استفاده از رابطه (6) باعث می شود تا مقدار اعتماد اپراتور تنها در شرایط تشخیص ناهنجاری کاهش یابد. به عبارت دیگر این فرصت به اپراتور داده شده است تا قبل از تشخیص ناهنجاری در سامانه، از دسترسی وی کاسته نشود و امکان برطرف کردن هشدارها را داشته باشد. بخش نخست رابطه تنها در بازدیدهای دوره ای یعنی زمانی که گزارشی از ناهنجاری در سیستم مشاهده نشده و در شرایطی که سابقه کارایی اپراتور منفی است استفاده می شود.

۵- روش تشخیص ناهنجاری

روش پیشنهادی برای تشخیص ناهنجاری بر پایه هشدار و با استفاده از روش های کنترل کیفیت آماری است. می دانیم که هرگونه اختلال و خطای ایجاد شده در شبکه به صورت یک یا

چند هشدار در سامانه اسکادا ثبت می شود. چنانچه اپراتور بتواند هشدار(ها) را به موقع برطرف نماید به معنای برطرف شدن اختلال یا خطای ایجاد شده است؛ اما اگر هشدار(ها) برطرف نشود، اختلال یا خطا همچنان در شبکه باقی مانده است؛ لذا از هشدارهای برطرف نشده به عنوان شاخصی برای تعیین شدت خطای موجود در شبکه می توان استفاده کرد.

برای تعیین شدت خطایی که وابسته به تهدیدهای عملیاتی اپراتور است، ضروری است تا فرصت کافی برای برطرف شدن هر هشدار به اپراتور داده شود. چنانچه هشدار در فرصت زمانی از پیش تعیین شده برطرف نشود، آنگاه به عنوان شاخصی برای تعیین شدت خطای وابسته به تهدیدهای عملیاتی در نظر گرفته خواهد شد. فرصت زمان مورد نیاز برای برطرف شدن هر هشدار (که در این مقاله با عنوان فرصت هشدار شناسایی می شود)، مقداری متغیر و متفاوت از دیگر هشدارها می تواند باشد. بحث بیشتر در مورد فرصت هشدار در بخش بعدی آمده است. هنگامی که هشدار در مرکز کنترل نمایش داده می شود، ضروری است تا اپراتور قبل از اتمام فرصت هشدار از پیش تعیین شده آن را برطرف کند. چنانچه هشدار در فرصت تعیین شده برطرف نشود به عنوان یک هشدار طولانی در سامانه شناخته خواهد شد. در این مقاله شدت خطای وابسته به تهدیدهای عملیاتی اپراتور (که با متغیر AoCI نشان داده می شود) با استفاده از مجموع شدت هشدارهای طولانی اندازه گیری می شود. در شرایط عادی هنگامی که شبکه تحت کنترل است، اپراتور در اسرع وقت اقدام به برطرف کردن هشدارها می کند، لذا مقدار AoCI به طور معمول صفر و یا نزدیک به صفر است. چنانچه مقدار AoCI از حد آستانه (UCL) خارج شود، به عنوان شرایط ناهنجار در سامانه شناسایی و اعلام می شود.

توجه به این نکته ضروری است که مقدار AoCI در دو صورت از حد آستانه خارج می شود: (۱) تهدیدهای عملیاتی (۲) سیل هشدار^۲. سیل هشدار هنگامی ایجاد می شود که یک یا تعدادی خطا در شبکه منجر به جاری شدن سیل آسای هشدارهای زنجیره ای به ترتیبی می شوند که اپراتور فرصت کافی برای برطرف کردن آن ها را ندارد. هشدارهای سیل آسا شرایطی را ایجاد می کنند که حتی اپراتورهای باتجربه قادر به برطرف کردن آن ها و شناسایی عامل خطا نمی باشند. بر اساس استاندارد نرخ ایجاد

² Alarm flooding

¹ Exponentially Weighted Moving Average (EWMA)

استفاده از مجموع وزنی تعداد هشدارهای طولانی به صورت زیر محاسبه می‌شود:

$$AoCI_k = \sum_{i=1}^n \sum_{j=1}^m Sev_{ij} \cdot C_{ijk} \quad (7)$$

در این فرمول Sev_{ij} شدت هشدار، C_{ijk} تعداد هشدارهای طولانی از نوع l_j در پست i ام، n تعداد پست‌ها، m تعداد انواع هشدارها، و k شماره نوبت بازرسی است. هنگامی که مقدار $AoCI_k$ از حد آستانه خارج شود، شرایط ناهنجاری شناسایی شده و به سامانه مدیریت کنترل دسترسی به منظور تغییر در مقدار اعتماد اپراتور اعلام خواهد شد.

۱-۵- تخمین فرصت هشدار

در سامانه پیشنهادی فرصت هشدار برای هر هشدار از نوع l_j (که با RST_j نمایش داده می‌شود) به صورت زیر تخمین زده می‌شود. فرض کنید زمان سپری شده از هنگام ظاهر شدن یک هشدار در صفحه HMI تا هنگام برطرف شدن آن (به عنوان یک مقدار نمونه RST_j) با متغیر $SampleRST_j$ نشان داده شود. پرواضح است که مقدار نمونه $SampleRST_j$ از هر هشدار به هشدار دیگر متناسب با شرایط سامانه و رفتار اپراتور تغییر خواهد کرد. از آنجاکه آخرین نمونه‌های اندازه‌گیری شده گویای شرایط جاری سیستم می‌باشند از رابطه متحرک موزون نمایی به منظور تعیین مقدار میانگین RST_j می‌توان استفاده کرد:

$$EstimatedRST_j = (1 - \beta)EstimatedRST_j + \beta \cdot SampleRST_j \quad (8)$$

در این رابطه $EstimatedRST_j$ مقدار میانگین فرصت هشدار از نوع l_j و β ضریب آخرین نمونه است. با محاسبه قدرمطلق تفاضل بین $SampleRST_j$ و $EstimatedRST_j$ مقدار تفاوت هر نمونه اندازه‌گیری شده از مقدار متوسط فرصت هشدار به دست می‌آید. رابطه (۹) نحوه محاسبه میانگین تغییرات RST_j را با استفاده از رابطه متحرک موزون نمایی نشان می‌دهد:

$$DevRST_j = (1 - \gamma)DevRST_j + \gamma \cdot |SampleRST_j - EstimatedRST_j| \quad (9)$$

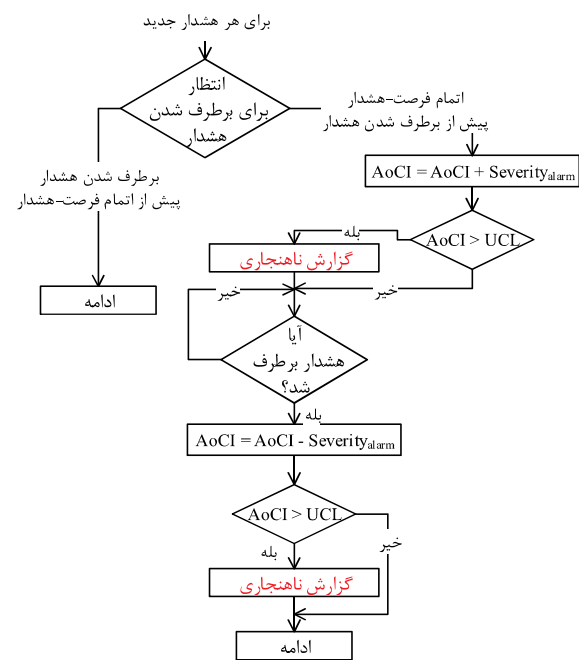
در نهایت برای محاسبه مقدار فرصت هشدار از رابطه (۱۰) می‌توان استفاده کرد:

$$RST_j = EstimatedRST_j + \rho \cdot DevRST_j \quad (10)$$

ده هشدار در ده دقیقه برای هر اپراتور به عنوان شرایط سیل هشدار شناسایی می‌شود [27].

در سامانه پیشنهادی بایستی راهکاری برای تمایز بین شرایط سیل هشدار و تهدیدهای عملیاتی فراهم گردد. زیرا در شرایط سیل هشدار اگرچه مقدار $AoCI$ افزایش می‌یابد اما سامانه نباید هیچ‌گونه محدودیتی برای اپراتورها در کنترل پست‌ها ایجاد کند. خوشبختانه امروزه برای جلوگیری از ایجاد شرایط سیل-هشدار در اغلب سامانه‌های اسکادا از روش‌های هوشمند پردازش هشدار استفاده می‌شود [28]. یک پردازنده هوشمند هشدار^۱ قادر است تا علاوه بر کاهش تعداد هشدارهای نمایش داده شده به اپراتور، راهکارهای مناسب برطرف شدن هشدار را نیز به وی پیشنهاد دهد. بنابراین چنانچه سامانه اسکادا مجهز به یک پردازنده هوشمند هشدار باشد، تهدید عملیاتی تنها عامل افزایش مقدار $AoCI$ و خارج شدن آن از حد آستانه خواهد بود.

با فرض استفاده از یک پردازنده هوشمند هشدار، شکل (۳) نحوه محاسبه $AoCI$ را به صورت بی‌درنگ نشان می‌دهد.



(شکل-۳): شناسایی ناهنجاری به صورت بی‌درنگ.
(Figure-3): Real time anomaly detection.

متغیر $AoCI$ با شروع از مقدار صفر و متناسب با شدت هشدارها تغییر می‌کند. مقدار $AoCI$ هنگامی که هشدار در فرصت هشدار از پیش تعیین شده برطرف نشود افزایش، و هنگامی که یک هشدار طولانی برطرف شود کاهش می‌یابد. به عبارت دیگر در هر نوبت بازرسی مقدار $AoCI$ با

¹ Intelligent alarm processor

در نهایت حدود کنترلی بالا (UCL) و پایین (LCL) به صورت زیر محاسبه خواهند شد:

$$UCL = \bar{U} + \phi \cdot \hat{\sigma}_U, \quad LCL = \bar{U} - \phi \cdot \hat{\sigma}_U \quad (12)$$

$$\hat{\sigma}_U = \sqrt{\sum_{i=1}^n \sum_{j=1}^m Sev_{ij}^2 \cdot \bar{u}_{ij}} \quad (13)$$

در روابط بالا $\hat{\sigma}_U$ انحراف معیار و ϕ ضریب انحراف معیار است و مقدار آن به طور معمول برابر دو (برای حد اخطار) و یا سه (برای حد نهایی) در نظر گرفته می شود [26]. از آنجاکه هر چه تعداد هشدارها کمتر باشد، شبکه از قابلیت اطمینان بیشتر برخوردار است، مقدار حد آستانه پایین را برابر با صفر می توان قرار داد ($LCL=0$).

۶- راستی آزمایی و نتایج شبیه سازی

در این بخش به منظور آنالیز روش پیشنهادی، دو سناریوی کنترل شبکه و حمله به شبکه مورد مطالعه قرار گرفته اند. داده های مورد نیاز سناریوها از سامانه اسکادای شبیه سازی شده در آزمایشگاه امنیت اسکادای سامانه های قدرت دانشگاه تربیت مدرس [30] بر اساس داده های بخشی از شبکه برق ایران تهیه شده اند. جدول (۲) ویژگی های در نظر گرفته شده برای هر یک از پست ها انتقال و فوق توزیع و معیار وزندهی آنها را نشان می دهد. در جدول (۳) مقدار بحرانی بودن پست های شبیه سازی شده با استفاده از ویژگی های جدول (۲) و رابطه (۱) نشان داده شده است. به منظور تعیین مقدار فرصت هشدار برای هر یک از انواع هشدارها و حدود کنترلی، داده های اولیه در شرایطی جمع آوری شده اند که سامانه در حالت پایدار و تحت کنترل کامل اپراتور بوده است. شکل (۴) نمودار تغییر ناهنجاری (متغیر $AoCI$) را برای داده های جمع آوری شده طی دو سال در شرایط پایدار سامانه نشان می دهد. همان طور که مشاهده می شود مقدار ناهنجاری همواره برابر صفر بوده و تنها در سه مورد مقدار آن کمی از صفر بالاتر رفته است (مقادیر صفر تکراری در تهیه نمودار در نظر گرفته نشده اند).

فرض های دیگری که در انجام سناریوها در نظر گرفته شده اند، عبارتند از: (۱) فاصله زمانی بازرسی ها یک ماهه در نظر گرفته شده است. (۲) هشدارها به دو گروه اصلی^۳ و فرعی^۴ تقسیم شده اند. (۳) به منظور جلوگیری از نوسان زیاد در دسترسی اپراتور به پست ها، مقدار اعتماد اپراتور تنها

در روابط (۹) و (۱۰)، γ ضریب اختلاف بین $EstimatedRST_j$ و $SampleRST_j$ ، و ρ ضریب متوسط تغییرات RST_j است. بدین ترتیب هنگامی یک هشدار از نوع I_j به عنوان یک هشدار طولانی شناخته خواهد شد که در فرصت هشدار RST_j برطرف نشود.

۲-۵- تعیین حدود کنترلی

به منظور آنالیز متغیر $AoCI$ و تعیین حدود کنترلی از روش های کلاسیک کنترل کیفیت آماری برای کنترل عدم انطباق ها^۱ [26] (مانند انواع نمودارهای C, U, P, D) می توان استفاده کرد. در این نمودارها حدود کنترلی در شرایطی تعیین می شوند که داده های جمع آوری شده متعلق به شرایط کنترل و پایدار سامانه باشند. در این مقاله هر هشدار طولانی به مثابه یک خرابی و یا عدم انطباق در یک فرآیند تولیدی و یا پردازشی فرض شده است. با توجه به آنکه مقدار ناهنجاری هر هشدار طولانی متناسب با شدت آن متفاوت است، ضروری است تا از نمودار کنترل نقص^۲ برای تعیین حدود کنترلی استفاده شود. لازمه استفاده از این نمودار آن است که توزیع آماری نقص ها (ترافیک هشدارهای طولانی) مطابق با توزیع پواسون باشد. در فرآیندهای تولیدی و پردازشی به طور معمول فرض بر آن است که توزیع آماری تعداد نقص ها مطابق با توزیع پواسون است. به طور مشابه بسیاری از منابع مانند [29] از توزیع پواسون برای مدل سازی ترافیک داده های اسکادا استفاده کرده اند. در سامانه های اسکادا از آنجایی که (۱) احتمال وقوع هشدار در هر یک از منابع کم است و (۲) تعداد منابع بالقوه تولید هشدار به دلیل بزرگی و گستردگی شبکه در زیرساخت های حیاتی به اندازه کافی زیاد است، از توزیع پواسون برای مدل سازی ترافیک هشدارها می توان استفاده کرد؛ لذا با فرض آنکه متغیر $AoCI_k$ در رابطه (۷) یک ترکیب خطی از متغیرهای تصادفی مستقل با توزیع پواسون باشد، مقدار میانگین ناهنجاری با استفاده از رابطه زیر قابل محاسبه است:

$$\overline{AoCI} = \bar{U} = \sum_{i=1}^n \sum_{j=1}^m Sev_{ij} \cdot \bar{u}_{ij} \quad (11)$$

در این رابطه \bar{u}_{ij} میانگین تعداد هشدارهای طولانی برای هر نوع هشدار I_j در پست i ام است ($\bar{u}_{ij} = \sum_{k=1}^N C_{ijk} / N$ که مجموع تعداد بازرسی ها است).

³ Major

⁴ Minor

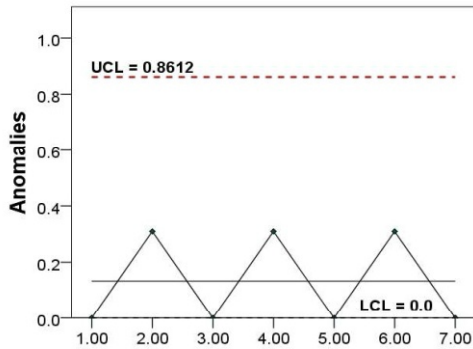
¹ Nonconformities

² Demerit Control Charts (D-chart)

می‌یابد. جدول (۴) و شکل (۵-الف) نشان می‌دهند که نخستین ناهنجاری، هنگامی شناسایی می‌شود که مقدار ناهنجاری به میزان ۲/۱۴ افزایش یافته و از حد آستانه خارج شده است.

(جدول-۳): سطح بحرانی بودن پست‌ها.
(Table-3): The criticality of substations.

پست‌ها						عنوان
F	E	D	C	B	A	
۰/۵	۰/۵	۰/۲۵	۰/۵	۰/۵	۰/۵	P ₁
۰/۲۵	۰/۵	۰/۵	۰/۵	۰/۲۵	۰/۵	P ₂
۰	۰	۰/۵	۰/۲۵	۰/۵	۰/۵	P ₃
۰	۰/۵	۰/۵	۰/۵	۰/۵	۰/۵	P ₄
۰/۲۵	۰/۵	۰/۵	۰/۵	۰/۵	۰/۵	P ₅
۰/۷۵	۰/۷۵	۱	۰/۶۲	۰/۷۵	۱	P ₆
۱/۷۵	۲/۷۵	۳/۲۵	۲/۸۷	۳	۳/۵	جمع امتیاز
۰/۵۰	۰/۷۹	۰/۹۳	۰/۸۲	۰/۸۶	۱/۰	بحرانیت



(شکل-۴): حدود کنترلی و تغییر ناهنجاری در شرایط پایدار سامانه.

(Figure-4): Control limits and anomaly changes in reliability state.

در نخستین بازرسی تعداد هشدارهای برطرف شده ۲۷ عدد، تعداد هشدارهای طولانی پنج عدد، تعداد هشدارهای بلا تکلیف یا تصدیق شده، چهار عدد، و در نهایت مقدار اعتماد اپراتور به ۰/۸۹۳ کاهش پیدا می‌کند. در پایان این بازرسی از آنجاکه مقدار اعتماد جدید اپراتور از سطح بحرانی بودن پست‌های A, D کمتر شده است، از دسترسی وی به این دو پست جلوگیری به عمل می‌آید. در ادامه با اتمام فرصت هشدار یکی از هشدارهای پست F، مقدار ناهنجاری به ۲/۳۲ افزایش می‌یابد. شکل (۵-ب) مراحل شناسایی دومین ناهنجاری و آغاز بازرسی دوم را نشان می‌دهد. در بازرسی دوم مقدار اعتماد اپراتور به ۰/۵۹۸ کاهش یافته و بدین ترتیب در ادامه، اپراتور تنها می‌تواند به پست F دسترسی داشته باشد. هنگامی که هشدار دیگری از پست F در فرصت

هنگام مشاهده ناهنجاری کاهش پیدا کرده است. (۴) مقادیر پارامترهای در نظر گرفته شده عبارتند از: $w_{lmi} = 0.64$ برای هشدارهای فرعی، $w_{lmj} = 0.36$ برای هشدارهای اصلی، $\alpha_1 = 0.125$ ، $\alpha_2 = 0.33$ ، $\beta = 0.125$ ، $\gamma = 0.125$ ، $\varphi = 2$. (۵) برای جلوگیری از سیل هشدارها از سامانه‌های هوشمند پردازش هشدار استفاده می‌شود. (۶) اپراتور ارشد با دیگر اپراتورها در تهدیدهای عملیاتی همدستی نمی‌کند. (۷) هیچ‌گونه تغییری در داده‌های دریافتی به منظور فریب سامانه اعمال نمی‌شود.

(جدول-۲): معیار وزن دهی برای تعیین بحرانیت پست‌ها [21].

(Table-2): Weighting criteria to determine the criticality of substations [21].

وزن	معیار وزن دهی	توضیحات	w_{pj}	P_j
۱	ظرفیت ترانس ها ≤ 500 (انتقال)	ظرفیت ایستگاه (مگاوات آمپر)	۰/۵	P ₁
	ظرفیت ترانس ها > 500 (فوق توزیع)			
۱	تعداد ترانس ها < 2 عدد	تعداد ترانسفورماتور	۰/۵	P ₂
	تعداد ترانس ها ≥ 2 عدد			
	کلیدخانه			
۰	بدون ترانس (فوق توزیع)			
۱	چند کلیدی (یک و نیم کلیدی)	نوع شینه بندی ایستگاه	۰/۵	P ₃
	دو بل/باس اصلی و فرعی/ مش			
۰	باسبار ساده / حلقوی باز، H و π			
۱	تعداد < 10 عدد	تعداد فیدرهای ورودی/ خروجی	۰/۵	P ₄
	$10 \leq$ تعداد < 4 (انتقال)			
۰	تعداد ≥ 4 عدد (انتقال)			
۰	تعداد ≥ 2 عدد (فوق توزیع)			
۱	رینگ	رینگ یا شعاعی	۰/۵	P ₅
	شعاعی			
۱	بسیار مهم ($> 1000mV$)	اهمیت ایستگاه در شبکه	۱	P ₆
	مهم			
۰/۷۵	معمولی ($< 100mV$)			

۶-۱- سناریوی حمله

به منظور آنکه نشان دهیم در تهدیدهای عملیاتی سامانه پیشنهادی قادر به شناسایی ناهنجاری و کاهش دسترسی اپراتور به پست‌ها است، این سناریو مورد مطالعه قرار گرفته است. در این سناریو اپراتور پس از آنکه مقدار اعتماد اولیه‌اش به میزان بیشینه فرض شده است $(T^{op}, t) = 1$ ، اقدام به یک حمله عملیاتی می‌کند. هر چه تعداد هشدارهای طولانی در سامانه اضافه می‌شود، مقدار ناهنجاری نیز افزایش

قانونی خود برطرف نمی‌شود، ناهنجاری سوم شناسایی شده شکل (۵-ج) و در نتیجه مقدار اعتماد اپراتور در بازرسی سوم به ۰/۴۰۱ کاهش می‌یابد. در این شرایط اپراتور به هیچ‌یک از پست‌ها اجازه دسترسی نخواهد داشت.

۶-۲- سناریوی کنترل شبکه

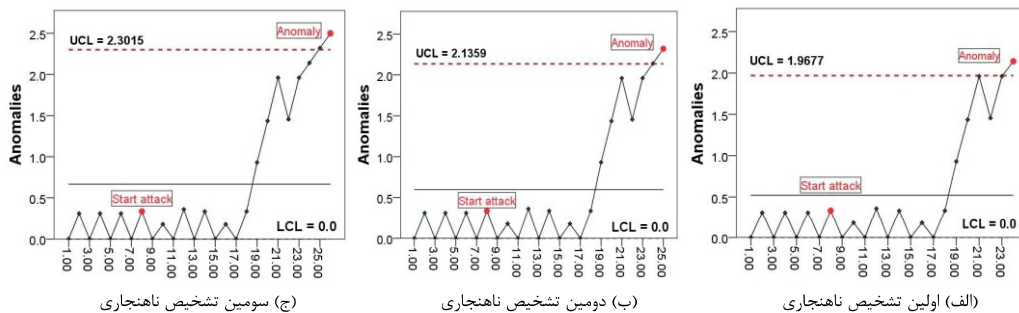
این سناریو نشان می‌دهد که چنانچه اپراتور کارایی خود را در کنترل شبکه افزایش دهد، سامانه پیشنهادی قادر است تا مقدار اعتماد و در نتیجه تعداد پست‌های تحت نظارت او را در محدوده تحت مسئولیت وی افزایش دهد. این سناریو هنگامی اتفاق می‌افتد که ناهنجاری شبکه به‌طور غیرعمدی از حد آستانه خارج شده و آنگاه اپراتور در اسرع وقت اقدام مقتضی برای کاهش ناهنجاری و برطرف شدن هشدارهای

طولانی را انجام می‌دهد. شکل (۶) تغییر ناهنجاری هنگام خروج از حد آستانه و بازگشت آن به شرایط عادی را نشان می‌دهد. جدول (۵) تغییر مقدار اعتماد اپراتور در بازرسی‌های مختلف را نشان می‌دهد. در این سناریو فرض می‌شود که به‌علت یک ناهنجاری غیرعمدی مقدار اعتماد اپراتور به ۰/۸۹۳ کاهش پیدا کرده و در نتیجه پست‌های تحت نظارت وی به B,C,E,F محدود شده است. در ادامه با افزایش کارایی اپراتور و برطرف شدن چند هشدار طولانی، مقدار ناهنجاری در محدوده مجاز قرار می‌گیرد. جدول (۵) نشان می‌دهد که در پایان بازرسی نخست تعداد هشدارهای برطرف شده ۳۸ عدد، تعداد هشدارهای طولانی یک عدد، و در نتیجه مقدار اعتماد اپراتور به ۰/۹۰۰ افزایش یافته است.

(جدول-۴): سناریوی حمله، مقدار اعتماد اپراتور در بازرسی‌های مختلف.

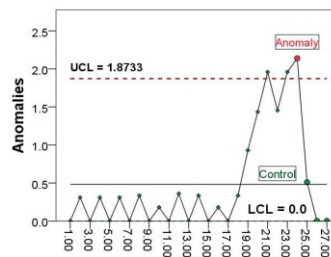
(Table-4): The attack scenario, the amount of operator trust in various inspections.

پست	بازرسی (۱) تشخیص ناهنجاری							بازرسی (۲) تشخیص ناهنجاری						
	R_{mj}	R_{mi}	L_{mj}	L_{mi}	N_{mj}	N_{mi}	T^{op}	R_{mj}	R_{mi}	L_{mj}	L_{mi}	N_{mj}	N_{mi}	T^{op}
A	-	-	-	-	-	-	-	-	-	-	-	-	-	-
B	۲	-	-	-	-	-	-	-	-	-	-	-	-	-
C	۵	-	-	۱	-	۱	۰/۸۹۳	-	-	-	۱	-	۱	۰/۵۹۸
D	۴	۱	۱	۱	۱	-	-	-	-	-	۱	-	-	-
E	۲	-	-	۱	-	-	۰/۰۰	-	-	-	۱	-	-	-
F	۱۲	-	۱	-	۲	-	-	-	-	۲	-	۱	-	-
	بازرسی (۴)							بازرسی (۳) تشخیص ناهنجاری						
A	مسدود							مسدود						
B	مسدود							مسدود						
C	مسدود							مسدود						
D	مسدود							مسدود						
E	مسدود							مسدود						
F	مسدود							مسدود						



(شکل-۵): تشخیص ناهنجاری در سناریوی حمله.

(Figure-5): Anomaly detection in attack scenario.



(شکل-۶): کاهش ناهنجاری در سناریوی کنترل شبکه.

(Figure-6): Reducing anomalies in the control scenario.

(جدول-۵): سناریوی کنترل شبکه، مقدار اعتماد اپراتور در بازرسی های مختلف
(Table-5): The control scenario, the amount of operator trust in various inspections.

پست	بازرسی (۱) ماهانه							T^{op}	بازرسی (۲) ماهانه							T^{op}
	R_{mj}	R_{mi}	L_{mj}	L_{mi}	N_{mj}	N_{mi}	R_{mj}		R_{mi}	L_{mj}	L_{mi}	N_{mj}	N_{mi}			
A	مسدود							۰/۹۰۰	مسدود							۰/۹۱۳
B	۴	-	-	-	-	-	۹		-	-	-	-	-			
C	۱۱	۱	-	-	-	-	۱۴		-	-	-	-	-			
D	مسدود							۰/۸۹۳	مسدود							۰/۹۲۴
E	۹	۱	-	۱	-	-	۱۵		۱	-	-	-	-			
F	۱۲	-	-	-	-	-	۱۳		-	-	-	-	-			
	بازرسی (۴) ماهانه							۰/۹۳۳	بازرسی (۳) ماهانه							۰/۹۲۴
A	مسدود								مسدود							
B	۸	-	-	-	-	-	۵		۱	-	-	-	-			
C	۱۷	۱	-	-	-	-	۱۸		-	-	-	-	-			
D	مسدود								مسدود							
E	۱۵	۱	-	-	-	-	۲۶		-	-	-	-	-			
F	۱۰	-	-	-	-	-	۱۹	-	-	-	-	-				

8-References

۸- مراجع

- [1] D. Kushner, "The real story of stuxnet," *iee Spectrum*, vol. 50, pp. 48-53, 2013.
- [2] Matthew L. Collins, Michael C. Theis, Randall F. Trzeciak, Jeremy R. Strozer, Jason W. Clark, Daniel L. Costa, *et al.*, "Common sense guide to mitigating insider threats 5th edition," CARNEGIE-MELLON UNIV PITTSBURGH PA SOFTWARE ENGINEERING INST, 2016.
- [3] N. Baracaldo and J. Joshi, "An adaptive risk management and access control framework to mitigate insider threats," *Computers & Security*, vol. 39, pp. 237-254, 2013.
- [4] P. Legg, N. Moffat, J. R. Nurse, J. Happa, I. Agrafiotis, M. Goldsmith, *et al.*, "Towards a conceptual model and reasoning structure for insider threat detection," *Journal of Wireless Mobile Networks, Ubiquitous Computing, and Dependable Applications*, vol. 4, pp. 20-37, 2013.
- [5] H. Shey, K. Mak, S. Balaouras, and B. Luu, "Understand the state of data security and privacy: 2015 to 2016," *Forrester Research Inc*, vol. 1, 2013.
- [6] N. Baracaldo, B. Palanisamy, and J. Joshi, "G-SIR: An Insider Attack Resilient Geo-Social Access Control Framework," *IEEE Transactions on Dependable and Secure Computing*, 2017.
- [7] M. Warkentin, A. C. Johnston, J. Shropshire, and W. D. Barnett, "Continuance of protective security behavior: A longitudinal study," *Decision Support Systems*, vol. 92, pp. 25-35, 2016.
- [8] M. Asgarkhani and E. Sitnikova, "A strategic approach to managing security in SCADA systems," in *Proceedings of the 13th European Conference on Cyber warfare and Security*, 2014, pp. 23-32.

در این مرحله با توجه به مقدار بحرانی بودن پست‌ها همچنان محدوده دسترسی اپراتور بدون تغییر باقی می‌ماند. در ادامه در بازرسی‌های دوم، سوم و چهارم با افزایش کارایی اپراتور برطرف شدن به‌موقع هشدارها مقدار اعتماد به مقادیر ۰/۹۱۳، ۰/۹۲۴، و ۰/۹۳۳ افزایش می‌یابد. بدین ترتیب در پایان بازرسی چهارم اجازه دسترسی به پست D برای اپراتور فراهم می‌شود. این سناریو نشان می‌دهد که با در نظر گرفتن مقادیر متفاوت برای α_1 و α_2 سرعت افزایش اعتماد به مراتب آهسته‌تر نسبت به کاهش آن شده است.

۷- نتیجه‌گیری

در این مقاله یک سامانه مدیریت دسترسی بر پایه اعتماد برای کاهش تهدیدهای عملیاتی سامانه اسکادا ارائه شده است. مقدار اعتماد اپراتور با توجه به کارایی وی در کنترل پست‌ها تعیین می‌شود. در این سامانه دسترسی اپراتور به پست‌ها با توجه به مقدار اعتماد وی و سطح بحرانی بودن پست‌ها تعیین می‌شود؛ لذا چنانچه یک تهدید عملیاتی علیه یکی از پست‌ها صورت گیرد، از دسترسی اپراتور به پست‌های دیگر (متناسب با سطح بحرانی بودن پست‌ها) جلوگیری به‌عمل خواهد آمد.

در این مقاله همچنین یک روش آماری برای تشخیص ناهنجاری در سامانه اسکادا ارائه شده است. این روش از شدت هشدارهای طولانی در سامانه استفاده می‌کند. بدین ترتیب با استفاده از تشخیص به‌موقع ناهنجاری، از شیوع تهدیدهای عملیاتی نسبت به پست‌های دیگر می‌توان جلوگیری به‌عمل آورد.

- control management for SCADA systems," *IEICE TRANSACTIONS on Information and Systems*, vol. 91, pp. 2449-2457, 2008.
- [21] O. Rysavy, J. Rab, P. Halfar, and M. Sveda, "A formal authorization framework for networked SCADA systems," in *Engineering of Computer Based Systems (ECBS), 2012 IEEE 19th International Conference and Workshops on*, 2012, pp. 298-302.
- [22] پژوهشگاه نیرو "استاندارد سامانه‌های اتوماسیون پست‌های انتقال و فوق توزیع", وزارت نیرو, ۱۳۸۶.
- (NRI, "Substation Automation Systems standard (Transmission and Subtransmission Substations)," Ministry of Energy of Iran, 2008.)
- [23] B. Zhu, A. Joseph, and S. Sastry, "A taxonomy of cyber attacks on SCADA systems," in *Internet of things (iThings/CPSCoM), 2011 international conference on and 4th international conference on cyber, physical and social computing*, 2011, pp. 380-388.
- [24] J. Lopez, C. Alcaraz, and R. Roman, "Smart control of operational threats in control substations," *Computers & Security*, vol. 38, pp. 14-27, 2013.
- [25] A. M. L. da Silva, A. Violin, C. Ferreira, and Z. S. Machado, "Probabilistic evaluation of substation criticality based on static and dynamic system performances," *IEEE Transactions on Power Systems*, vol. 29, pp. 1410-1418, 2014.
- [26] D. C. Montgomery, *Introduction to statistical quality control*: John Wiley & Sons (New York), 2009.
- [27] I. IEC, "62682 Management of Alarm Systems for the Process Industries," ed: Geneva: IEC, 2014.
- [28] N. Mayadevi, S. Ushakumari, and S. Vinodchandra, "SCADA-based operator support system for power plant equipment fault forecasting," *Journal of the Institution of Engineers (India): Series B*, vol. 4, pp. 369-376, 2014.
- [29] J. Zhao, Y. Xu, F. Luo, Z. Dong, and Y. Peng, "Power system fault diagnosis based on history driven differential evolution and stochastic time domain simulation," *Information Sciences*, vol. 275, pp. 13-29, 2014.
- [30] T. M. U. SPAMLAB. (2017). *SPAMLAB*. Available: <https://www.irancert.ir>
- [9] A. Nicholson, S. Webber, S. Dyer, T. Patel, and H. Janicke, "SCADA security in the light of Cyber-Warfare," *Computers & Security*, vol. 31, pp. 418-436, 2012.
- [10] H. Bao, R. Lu, B. Li, and R. Deng, "BLITHE: Behavior rule-based insider threat detection for smart grid," *IEEE Internet of Things Journal*, vol. 3, pp. 190-205, 2016.
- [11] S. Board, "Pipeline Accident Report," 2010.
- [12] D. Hadžiosmanović, D. Bolzoni, and P. H. Hartel, "A log mining approach for process monitoring in SCADA," *International Journal of Information Security*, pp. 1-21, 2012.
- [13] T. Sasaki, "A Framework for Detecting Insider Threats using Psychological Triggers," *JoWUA*, vol. 3, pp. 99-119, 2012.
- [14] M.-K. Yoon and G. F. Ciocarlie, "Communication pattern monitoring: Improving the utility of anomaly detection for industrial control systems," in *NDSS Workshop on Security of Emerging Networking Technologies*, 2014.
- [15] I. Garitano, R. Uribeetxeberria, and U. Zurutuza, "A review of SCADA anomaly detection systems," in *Soft Computing Models in Industrial and Environmental Applications, 6th International Conference SOCO 2011*, 2011, pp. 357-366.
- [16] M. Bishop, H. M. Conboy, H. Phan, B. I. Simidchieva, G. S. Avrunin, L. A. Clarke, *et al.*, "Insider threat identification by process analysis," in *Security and Privacy Workshops (SPW), 2014 IEEE*, 2014, pp. 251-264.
- [17] D. Hadžiosmanović, R. Sommer, E. Zambon, and P. H. Hartel, "Through the eye of the PLC: semantic security monitoring for industrial processes," in *Proceedings of the 30th Annual Computer Security Applications Conference*, 2014, pp. 126-135.
- [18] N. Baracaldo and J. Joshi, "Beyond accountability: using obligations to reduce risk exposure and deter insider attacks," in *Proceedings of the 18th ACM symposium on Access control models and technologies*, 2013, pp. 213-224.
- [19] J.-H. Cho, A. Swami, and R. Chen, "A survey on trust management for mobile ad hoc networks," *IEEE Communications Surveys & Tutorials*, vol. 13, pp. 562-583, 2011.
- [20] S.-P. Hong, G.-J. Ahn, and W. Xu, "Access



پیام محمودی نصر تحصیلات خود را در مقاطع کارشناسی و کارشناسی ارشد مهندسی کامپیوتر به ترتیب در سال های ۱۳۷۳ و ۱۳۷۵ از دانشگاه صنعتی امیرکبیر و در مقطع دکترای مهندسی

قدرت در سال ۱۳۹۵ از دانشگاه تربیت مدرس به پایان رسانده و هم اکنون استادیار دانشکده مهندسی کامپیوتر و فناوری اطلاعات دانشگاه مازندران است. زمینه های پژوهشی مورد علاقه ایشان عبارتند از: امنیت شبکه های صنعتی، امنیت داده ها و شبکه های کامپیوتری. نشانه رایانامه ایشان عبارت است از:

P.mahmoudi@umz.ac.ir



علی یزدیان ورجانی تحصیلات خود را در مقطع کارشناسی مهندسی برق از دانشگاه صنعتی شریف در سال ۱۳۸۶ به اتمام رساند. ایشان مدرک کارشناسی ارشد و دکترای خود را در رشته

مهندسی برق از دانشگاه ولنگونگ استرالیا به ترتیب در سال های ۱۳۷۳ و ۱۳۷۷ دریافت کرد. وی هم اکنون عضو هیأت علمی دانشکده مهندسی برق و کامپیوتر دانشگاه تربیت مدرس است. زمینه های پژوهشی مورد علاقه ایشان عبارتند از: کاربردهای الکترونیک قدرت، حفاظت و امنیت شبکه ها، و مدیریت امنیت اطلاعات. نشانه رایانامه ایشان عبارت است از:

Yazdian@modares.ac.ir

